



# 变压器研究

(电机实验参考书)

苏联莫斯科动力学院

电机教研组编

高等教育出版社

---



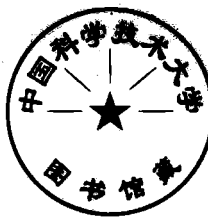
# 变 压 器 研 究

## (电机实验参考书)

苏联莫斯科动力学院电机教研组编

周希贤译

潘曙先校



高等 教育 出 版 社

---

本书系根据苏联莫斯科动力学院(Московский энергетический институт)1957年出版的该院电机教研组所编“变压器研究(电机实验参考书)”[Исследование трансформаторов(Бессобие к лаборатории электрических машин)]译出。原书经该院教务处审定为学生用教学参考书，但对于相应的制造厂及使用企业也有参考价值。

本书共包括四个实验，即：实验一，三相双绕组变压器；实验二，第一部分，三相三绕组变压器的研究，第二部分，自耦变压器的研究；实验三，三相变压器的并联运行；实验四，三相变压器不平衡负载的研究。结论和实验一是 П. М. 季霍米罗夫(Тихомиров)副教授编写的，实验二是 С. С. 奥库尼(Окунь)副教授和季霍米罗夫副教授合编的，实验三是 В. Л. 克赖兹(Крайз)助教编写的，实验四是 А. Н. 阿勃腊莫夫(Абрамов)技术科学副博士编写的。本书的主编者是季霍米罗夫副教授。

## 变 压 器 研 究

(电机实验参考书)

---

苏联莫斯科动力学院电机教研组编

周希贤译 潘曙先校

高等教育出版社出版 北京宣武门内永康寺7号

(北京市书刊出版业营业登记证字第054号)

京华印书局印装 新华书店发行

---

统一书号 15010·804 开本 850×1168 1/16 印张 111/16  
字数 36,000 印数 0001—4,000 定价(7) ￥0.26  
1959年7月第1版 1959年7月北京第1次印刷

## 目 录

緒論.....	1
實驗一、三相雙繞組變壓器.....	6
第一部分三相三繞組變壓器的研究.....	21
第二部分自耦變壓器的研究.....	26
實驗三、三相變壓器的并聯運行.....	31
實驗四、三相變壓器不平衡負載的研究.....	38

## 緒論

工厂生产的每一台变压器，为了检验其制造及选用材料的质量，必须给予例行的试验。每种新型结构的变压器须给予型式试验。电力变压器例行和型式试验的范围、性质及方法在国家标准 TOCT 3484-46 中都已规定。对于其他的变压器则定有特殊的技术条件。

在变压器实验的大纲中包含有某些例行的及其他试验，当变压器在各种不同联接和不同负载条件下运行时，这些试验可以研究其各种不同的运行状况。

电机教研组变压器实验室中的全部研究工作，是在三相 TC-5/0.5(三相干式，容量 5 千伏安，电压 0.5 千伏)干式变压器上进行的。变压器铁心为矽钢片所迭成，磁路系统是三相不对称的，具有水平的铁心柱和垂直的铁轭。铁心柱截面积是四级阶梯形，有效面积为  $S_0 = 52.5$  公分<sup>2</sup>。铁轭是十字形，有效面积  $S_s = 56$  公分<sup>2</sup>。铁心的主要尺寸已表明在图 I 上。

变压器绕组是交错式的。每一铁心柱上的绕组分为二个磁平衡组。每一组具有一个双段式线卷的高压绕组 BH，它放在两个串联的双段式低压绕组 HH 之间(图 II)。高压绕组的每一双段式线卷具有 96 匝，每一铁心柱共 192 匝。低压绕组双段式线卷的每一段具有 30 匝，二个串联有 60 匝，每一铁心柱共 120 匝。

因此，变压器的每相绕组 BH 及 HH 可分为二组，它们可以串联或并联。这样可以将绕组接成星形或三角形。为了接线方便，绕组 BH 的全部始端及末端都引至接线板上(图 III)。绕组 HH 的始端及末端也引至接线板上(图 IV)。

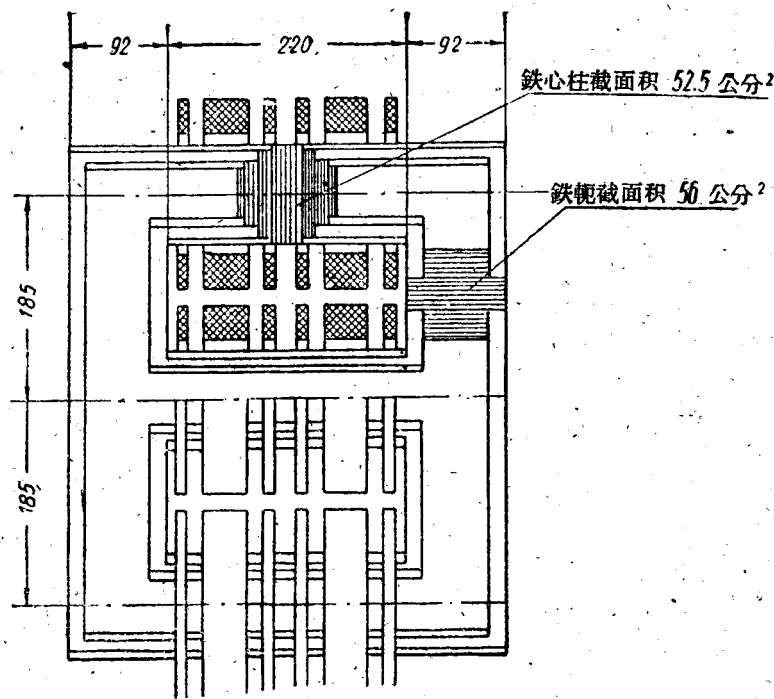


图 I. 带有繞組的變壓器鐵心。

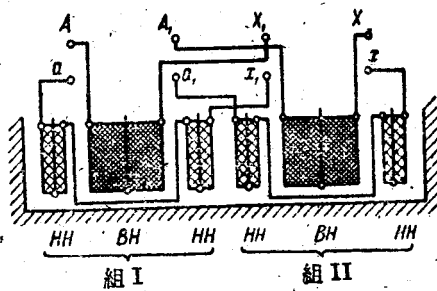


图 II. 繞組在鐵心柱上的安排。

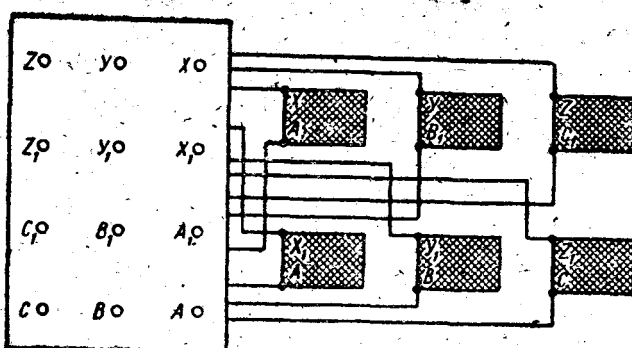


图 III. 漩组 BH 在接线板上的出线头。

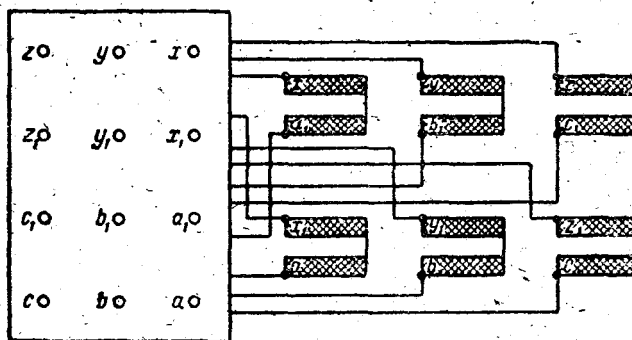


图 IV. 漩组 HH 在接线板上的出线头。

漩组 BH 的额定数据——线电压 400 伏, 线电流 7.22 安——当漩组 BH 两组串联且三相接成星形时可获得。漩组 HH 的两个组, 当考虑作为两个独立的星形联接的三漩组变压器时, 每一漩组的额定数据为: 线电压 125 伏, 线电流 11.55 安。当研究双漩组变压器时, 二漩组并联, 具有同样的额定线电压 125 伏及双倍的电流 23.1 安。

变压器的额定及其他数据都注明在名牌上; 制造厂的名称, 型号, GOCT 序号, 工厂编号, 出厂年份, 相数, 频率(赫芝)安装方式(户内或户外), 额定容量(千伏安), 漩组的接线图及联接组, 各漩

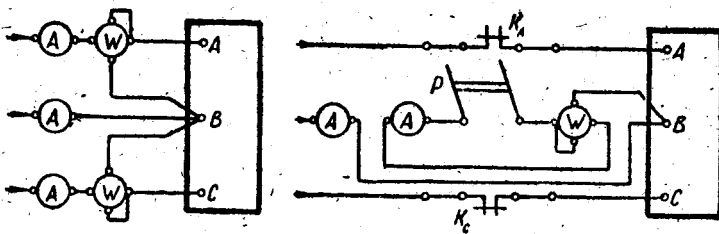


图 V.

粗的額定电压(伏)及电流(安), 短路电压(%), 冷却方式。

当进行变压器实验一和二时, 三相功率是用二瓦特计法测量的。包括两个瓦特计的示意接线图已叙述于相应的各实验的课文中。实际上, 当按照这种接线图测量功率时, 仅利用一个瓦特计, 该瓦特计借转换开关轮流接入两个线路(图 V)。当开关 P 投入上面位置时, 触点  $K_A$  被打开, 瓦特计的串联绕组被接入导体 A 的线路中。当开关在下面位置时, 触点  $K_C$  被打开, 瓦特计的串联绕组被接入导体 C 的线路中。瓦特计的并联绕组的一端接至线路或 B 端, 而另一端接至串联绕组。安培计与瓦特计串联时, 可以利用一个安培计测量线路 A 和 C 中的电流。

在变压器实验室中所采用的瓦特计其电流量程为 12.5 及 25 安, 电压为 30 伏。当测量较高电压的线路时, 在瓦特计的电压线圈中串联附加电阻, 这样可以允许增加测量范围到 120, 240, 420 及 600 伏。

在进行装置任一实验线路之前, 应该预定被测电压和电流的数值范围, 并选择接近最大测量范围的仪表(安培计, 伏特计及瓦特计)。

在装置线路及进行测量时应该考虑到仪表的损耗。当测量相当小的功率时, 仪表的损耗可能相当大, 致使测量的结果引起可观的误差。为了避免引起较大的误差, 必须对每种不同的情况采用

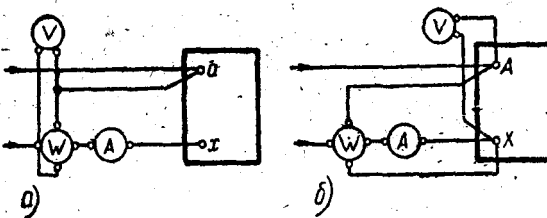


圖 VI.

不同的接綫方法，以使仪表損耗对測量結果影响最小，且在估計測量結果时考慮到仪表的实际損耗。例如，按图 VI-a 测量功率时，瓦特計指示的功率等于被测功率，瓦特計串联繞組的損耗，以及安培計繞組損耗的总和。按图 VI-b 接綫时則包括被测功率，瓦特計并联繞組的損耗及伏特計繞組的損耗。变压器空載試驗时，按图 VI-a 接綫測量功率所得誤差最小，而短路試驗时則按图 VI-b 接綫。

为了修正仪表的損耗，應該在瓦特計的讀数中扣除那些被計入总功率的仪表的損耗，其中也包括瓦特計本身的損耗。这时，安培計或瓦特計串联繞組中的損耗按公式  $P_{np} = I^2 R_{np}$  确定，而伏特計或瓦特計并联繞組中的損耗按公式  $P_{np} = \frac{U^2}{R_{np}}$  确定，式中  $R_{np}$ —仪表繞組的电阻， $I$ —仪表繞組的电流， $U$ —仪表的端电压。

# 实验一、三相双绕组变压器

## 变压器空载及短路时的研究

每个变压器都为下列特征所表明：额定容量，相数，电流的频率，绕组数目及其额定电压，绕组的接线图及联接组。根据这些数据，变压器可以进行设计和制造。为了满足变压器全部的运行要求，它还应该具有 ГОСТ 或特殊技术条件所规定的许多特征。

照例，对所有变压器所规定的特性中包含有空载电流及损耗，短路电压及损耗，效率，以及在额定运行时副边电压的变化。这些特性可以根据空载和短路试验来确定，空载和短路试验是每一个电力变压器在出厂之前所必须进行的例行试验。

空载和短路试验所确定的特性可以用以研究变压器各种不同的运行状况。空载损耗和电流确定变压器激磁所必须的有功和无功功率。变压器绕组中故障短路时的电流以及负载时副边电压的变化决定于短路电压。当选择并联运行用的变压器时也要考虑到短路电压。空载和短路时的损耗可以用以确定变压器的效率。

实际上，我们常遇到空载特性和短路特性的两种概念。一种概念是额定电压时的空载特性和额定电流时的短路特性的数值。另一种概念是这些数值与电压和电流的关系，它们常用曲线或分析方法表示。

本实验的任务是对被研究的三相双绕组变压器进行空载和短路试验，作出空载和短路特性，并计算出变压器额定运行时的某些特性。

## 实验提纲

1. 确定变比。
2. 进行空载试验。实验时利用示波器以记录变压器的电流，电网电压及副边电压的波形。
3. 进行短路试验。

根据试验数据：

1. 当  $Y/Y$  及  $\Delta/Y$  联接时，计算线电压的变比。
2. 作出空载特性：  
 $I_x = f(U_1)$ ;  $P_x = f(U_1)$ ;  $\cos\varphi_x = f(U_1)$ 。
3. 找得在额定电压  $U_n$  时的空载电流  $I_x$ ，其有功分量  $I_a$  及无功分量  $I_p$ ,  $\cos\varphi_x$  及空载损耗  $P_x$ ，以及计算变压器铁心中的磁感应。
4. 作出空载电流  $i_x = f(t)$  在一个周期内的曲线。
5. 作出短路特性：  
 $U_\kappa = f(I_\kappa)$ ;  $P_\kappa = f(I_\kappa)$ ;  $\cos\varphi_\kappa = f(I_\kappa)$ 。
6. 确定折算至温度  $75^\circ C$  时的短路电压  $U_\kappa$  的百分值，其有功分量  $u_a$  及无功分量  $u_p$ ，以及短路损耗  $P_\kappa$  及  $\cos\varphi_\kappa$ 。
7. 当  $U_1 = U_n$ ，额定电流 ( $\beta = 1$ ) 及  $\cos\varphi_2 = 0.8$  时，确定副边端电压  $U_2$  及效率。

## 实验说明及指示

所研究的对象是具有交錯盤式繞組的三相鐵心式变压器(見緒論)。在实验开始前，應該先熟习变压器名牌，并记录名牌上所注明的額定数据。

### 1. 变比的确定

当  $Y/Y$  及  $\Delta/\Delta$  联接组时，线电压的变比实际上就等于绕组 BH 及 HH 的匝数比：

$$k = \frac{U_{BH}}{U_{HH}} = \frac{W_{BH}}{W_{HH}}$$

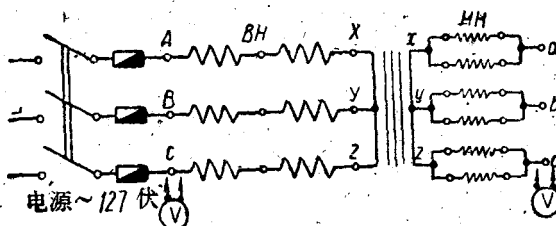


图 1.

当  $Y/\Delta$  或  $\Delta/Y$  联接组时：

$$k = \sqrt{3} \cdot \frac{W_{BH}}{W_{HH}} \text{ 或 } k = \frac{1}{\sqrt{3}} \cdot \frac{W_{BH}}{W_{HH}}$$

按图 1 的接线，变压器空载运行时可以确定变比。将变压器副边绕组开路，原边接至电源，以伏特计测量原边及副边的电压。这数值与那一个绕组与电源相接有关。由试验可得

$$\frac{U_1}{U_2} = k \text{ 或 } \frac{U_1}{U_2} = \frac{1}{k}$$

为了避免可能由于电网电压振荡所引起的误差，伏特计在原边和副边的读数应该同时读取（根据同一信号）。

测量变比时与哪一绕组接至电源并无关系，但是为了试验时不希望副边电压超过 250 伏，建议将绕组 BH 作为原边。

确定  $Y/Y$  联接组时的变比，同样也确定  $\Delta/Y$  联接组时的变比。

按照 IEC，变比  $k$  与额定电压比值之间的差别对于  $k < 3$  的

变压器不应大于±1%，对所有其他的变压器不应大于±0.5%。

记录试验数据并建议填入表 1 形式的表格。

表 1. 变比的确定

联接组	$U_{AB}$	$U_{ab}$	$k$	$U_{BA}$	$U_{ba}$	$k$	$U_{CA}$	$U_{ca}$	$k$	$k_{cpedu}$
Y/Y										
Δ/Y										

## 2. 空载特性

进行空载试验是为了确定变压器的空载电流和损耗。按照 IEC， 在变压器的一个绕组上施以额定电压和额定频率，而使双绕组变压器的另一绕组开路，或使三绕组变压器的其余二绕组开路时，所得的电流称为空载电流。在这种运行情况下，变压器内所产生的损耗称为空载损耗。空载电流通常用额定电流的百分数来表示。

空载试验按图 2 的线路进行。让变压器的副边开路，原边接至频率为 50 赫兹的电源。试验时测量变压器的端电压，线电流以及从电网所吸取的功率。进行试验时常不局限于额定电压一点，而作出在不同电压  $U_1$  时的空载特性。

$$I_s = f(U_1); \quad P_s = f(U_1); \quad \cos\varphi_s = f(U_1).$$

电压通常在  $U_1 = 0.5 U_{1n}$  到  $U_1 = 1.2 U_{1n}$  的范围内变化，每隔 10—15 伏测量一次。同时希望其中有一点是在额定电压  $U_{1n}$  时测量的。

进行试验时，为了不使电压大于 250 伏，建议将变压器 HH 方面接向电源而让绕组 BH 全部开路，如图 2 所示。

在实验室中采用三相感应调压器以调节电压。当变压器接至调压器之前，应该保证后者的端压为最小。同时也要检验一下调压器的三相电压是否对称。

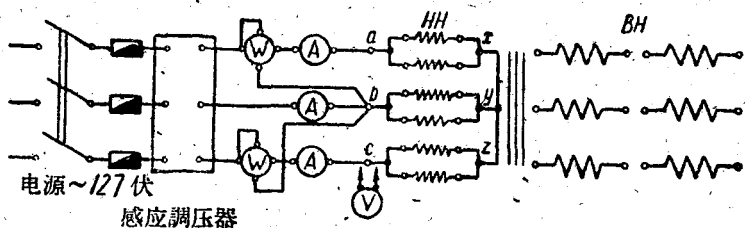


图 2.

记录试验数据并建议填入表 2 形式的表格。

在测量过程中, 如果发现变压器的线电压  $U_{ab}$ ,  $U_{bc}$  及  $U_{ca}$  实际上相等, 为了节省时间, 可以只测量其中的一个电压。如果稍有不对称, 应该以三个线电压的算术平均值  $U_{1cp}$  作为电压  $U_1$ 。

表 2. 空载特性

序号	电 压				电 流				功 率			$\cos\varphi_x$	注
	$U_{ab}$	$U_{bc}$	$U_{ca}$	$U_{1cp}$	$I_a$	$I_b$	$I_c$	$I_{xcp}$	$P'_x$	$P''_x$	$P_x$		
	ε	ε	ε	ε	a	a	a	a	格数	格数	瓦		
1													$c_{em} = \bar{P}_x / 0$
2													
3													
4													
5													
6													

$c_{em}$  —— 瓦特計刻度的分度数值

现代三相变压器的磁路系统是不对称的, 因此, 中间一相的激磁功率较旁边二相为小, 相应的中间一相的空载电流也较小。所以空载电流应该三相分别测量再根据测量数据确定算术平均值

$I_{xcp}$

測量功率  $P_x$  时，應該檢驗測量儀表的功率損耗。如果這損耗超過被測數值的 1%，那末所測得的  $P_x$  應該加以校正\*。

空載時的功率因數可以按下式計算：

$$\text{对三相变压器 } \cos\varphi_x = \frac{P_x}{\sqrt{3} \cdot U_1 \cdot I_x},$$

$$\text{对单相变压器 } \cos\varphi_x = \frac{P_x}{U_1 \cdot I_x}.$$

根據表 2 的數據： $U_{1op}$ ;  $I_{xop}$ ;  $P_x$  及  $\cos\varphi_x$  可以作出變壓器的空載特性：

$$I_x = f(U_1); P_x = f(U_1) \text{ 及 } \cos\varphi_x = f(U_1).$$

這些特性的大致形狀如圖 3 所示。

根據空載特性可以確定額定電壓  $U_{1n}$  時的  $I_x$ ,  $P_x$  及  $\cos\varphi_{xn}$ 。按試驗數據也可確定空載電流的有功和無功分量：

$$I_a = I_x \cos\varphi_x; I_p = I_x \sin\varphi_x.$$

通常  $I_a < I_p$

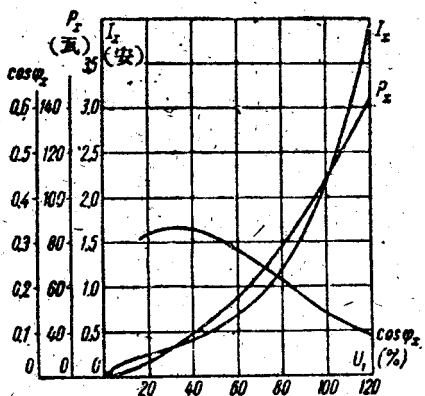


圖 3.

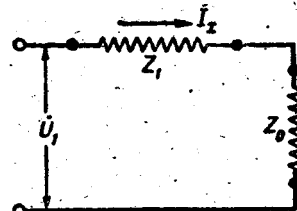


圖 4.

\* 按圖 2 接線時，儀表中的功率損耗可以不計。

$I_x, I_a, I_p$  应该用额定电流  $I_n$  的百分数来表示。额定电压时的空载电流通常为额定电流的 10—12 到 3—4%。大的数值对应于容量为 1—10 千伏安的变压器。随着变压器容量的增长，空载电流的相对数值逐渐减小。

图 4 为变压器空载运行时的单相等值线路。按此线路根据空载试验数据可确定每相：

$$Z_x = |Z_0 + Z_1| = \frac{U_{1\phi}}{I_{x\phi}}$$

$$r_x = r_0 + r_1 = \frac{P_{x\phi}}{I_{x\phi}^2}$$

$$x_x = x_0 + x_1 = \sqrt{Z_x^2 - r_x^2}$$

式中  $U_{1\phi}$ ;  $I_{x\phi}$  及  $P_{x\phi}$ ——每相电压、电流及功率。对于原边接成星形的三相变压器：

$$U_{1\phi} = \frac{U_1}{\sqrt{3}}; \quad I_{x\phi} = I_x; \quad P_{x\phi} = \frac{P_x}{3}$$

应该指出，由于电压  $U_1$  与空载电流  $I_x$  之间的非线性关系， $Z_0$ ， $r_0$  及  $x_0$  对该变压器并非常数，而随电压  $U_1$  变化。

实际上，通常总是计算额定电压  $U_{1n}$  时的那些数值。

绕组中的铜耗，以及漏磁通在绕组中及结构零件（夹件，箱壁等）中所引起的附加损耗与电流的平方成正比。因为在空载时变压器原绕组中的电流很小 ( $I_x = 0.1—0.03 I_n$ )，而副绕组中的电流为零，所以忽略这些损耗也不会引起很大误差，亦即认为变压器空载时全部测量的损耗都是铁心中的铁耗。因而可认为：

$$r_x = r_1 + r_0 \approx r_0 \text{ 及 } r_0 \approx \frac{P_{x\phi}}{I_{x\phi}^2}$$

空载时原边绕组的电抗压降  $I_x x_1$  与  $I_x x_0$  相比极为微小，因此可忽略。据此可认为

$$x_x = x_1 + x_0 \approx x_0$$

由上述假設可足够准确地認為：

$$z_0 \approx \frac{U_1 \phi}{I_{\text{af}}}$$

鐵心中的鐵耗約與磁感應的平方成正比，而磁感應也正比於其感应電勢。後者當變壓器從空載到滿載的範圍內都與外施電壓差別不大。因此，鐵耗實際上正比於電壓的平方。所以當空載及  $U_1 = U_{1n}$  時，變壓器中的損耗實際上與負載時的鐵耗沒有什麼差別。

鐵心柱中的磁感應  $B_c$  可從下式找得： $E = 4.44 \cdot f \cdot w \cdot B_c \cdot S_c \cdot 10^{-8}$ (伏)，式中： $f$ —頻率(赫芝)； $w$ —繞組的匝數； $S_c$ —鐵心柱截面(公分<sup>2</sup>)。假定  $E_1 \approx U_1$ ，得：

$$B_c = \frac{U_1 \cdot 10^8}{4.44 \cdot f \cdot w \cdot S_c} \text{ (高斯)}.$$

對於被研究的變壓器  $S_c = 52.5$  公分<sup>2</sup>(繞組的匝數  $w$  見緒論)。

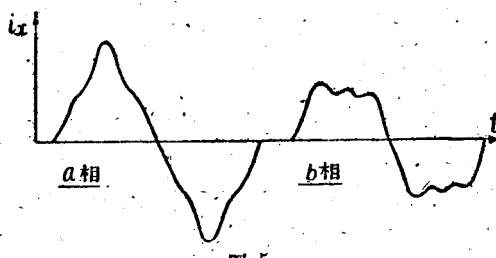


图 5.

鐵耗與外施電壓的波形及頻率有關。用示波器可以檢驗電壓的確切波形，而用頻率計可以檢驗頻率。

空載電流與原邊端電壓成非線性關係。因而當電壓隨時間成正弦變化時，空載電流並非正弦。鐵心柱中的磁感應愈大，則空載電流的波形  $i_s = f(t)$  與正弦形的差別亦愈大。曲線的大致形狀如圖 5 所示。

為了記錄空載電流的波形，可以採用電子示波器，示波器按圖